



Mechanism of halite crystal shapes formation in evaporites of Member 2 in Gachsaran Formation at Ab-Teymure Oil Field

R. Moussavi-Harami¹, A. Mahboubi¹, A. Bavi Ovidie¹, H. Amiri-Bakhtiar²

1. Department of Geology, Faculty of Science, Ferdowsi University of Mashhad
2. South Oil Field Company of the National Iranian Oil Company, Ahwaz
Email: Harami2004@yahoo.com

(Received: 25/12/2007, in revised form: 8/6/2008)

Abstract: Cutting samples from evaporite deposits of Member Two of Gachsaran Formation in well #1 at Ab-Teymure Oil Field have been studied by petrographic microscope, SEM with EDX attachment and XRD to identify the halite crystal shapes. This study led to recognition of three stages, including flooding, concentration and desiccation, for the formation of halite in salt pan. In the flooding stage, the flooding water dissolves the saline crust in the floor of salt pan, which are flat and vuggy. At the second stage, dissolution of halite and evaporation continued. As the concentration of brine increased, rafts, plates and hopper shapes of halite crystals form at the air-brine interface. Finally, these crystals precipitated to the bottom of the salt pan as the weight of crystals increased. At the last stage, salt pan was dried and hyper saline condition was dominated below the surface during lowstand. During this stage, halite crust formed on the surface of salt pan and clear crystals of halite in cubic and cumulative form may have been precipitated in vuggy pores that formed during dissolution of salt.

Keywords: hopper, halite shape, Gachsaran Formation, salt pan.



سازوکار تشکیل شکل‌های بلوری هالیت در تبخیری‌های بخش ۲ از سازند گچساران- میدان نفتی آب تیمور

سیدرضا موسوی‌حرمی^۱، اسد الله محبوبی^۱، عبدالرضا باوی عویدی^۱، حسن امیری بختیار^۲

۱- گروه زمین شناسی دانشکده علوم دانشگاه فردوسی مشهد

۲- شرکت ملی مناطق نفت خیز جنوب

پست الکترونیکی: Harami2004@yahoo.com

(دریافت مقاله ۸۶/۱۰/۴، نسخه نهایی ۸۷/۳/۱۹)

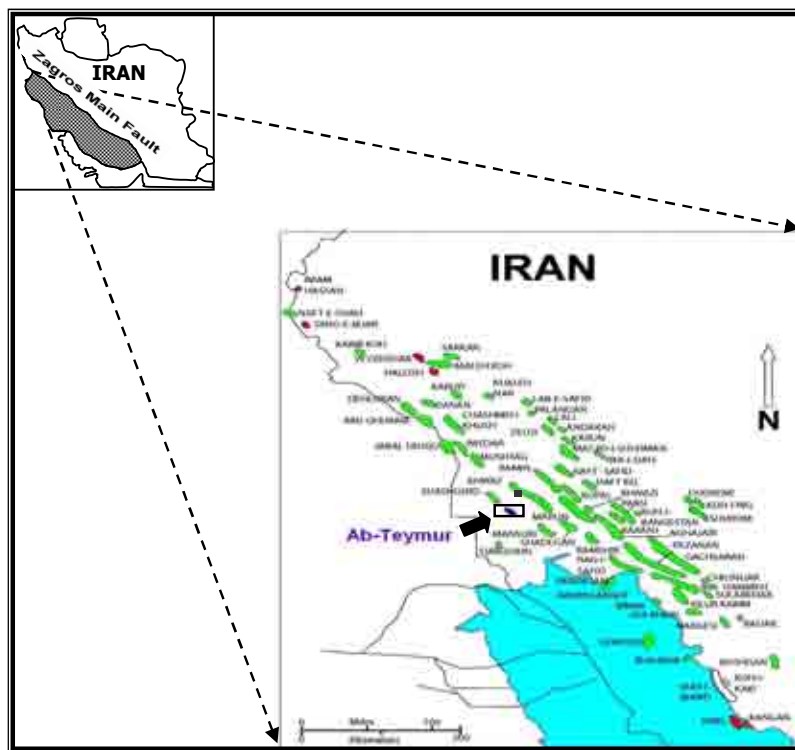
چکیده: بررسی خرددهای خفاری نمک از بخش ۲ سازند گچساران در چاه شماره ۱ میدان نفتی آب تیمور با میکروسکوپ الکترونی روبشی (SEM) مجهر به آنالیزور عنصری نقطه‌ای (EDX) و نیز آنالیزور پراش پرتو X (XRD)، منجر به شناسایی چگونگی تشکیل هالیت در سه مرحله سیلابی، تراکم، و خشکشدن در کفه نمکی شده است. در مرحله سیلابی، پیشروی دریا باعث شکل‌گیری دریاچه‌ای شور و گسترش اتحاد در پوسته‌های هالیت بستر کفه نمکی به صورت سطوح صاف و حفره‌ای شده است. مرحله دوم با دامنه تبخیر و نیز اتحاد هالیت همراه است. افزایش غلظت سورابه باعث تشکیل بلورهای هالیت خواری، ورقه‌ای و قیفی شکل در مرحله شورابه - هوا شده است. این بلورها سرانجام بر اثر افزایش وزن، در بستر کفه نمکی ته نشین شده اند. در مرحله آخر بر اثر افت سطح شورابه، کفه نمکی خشک و شرایط خیلی شور در زیر بستر آن حکم‌فرما شده است. در این مرحله ضمن تشکیل پوسته‌های هالیت در سطح کفه نمکی، بلورهای هالیت شفاف با اشکالهای مکعبی و تجمعی در درون حفره‌های اتحادی نیز تشکیل شده‌اند.

واژه‌های کلیدی: هالیت قیفی، مکعبی، تجمعی، ورقه‌ای، سطوح و حفره‌های اتحادی.

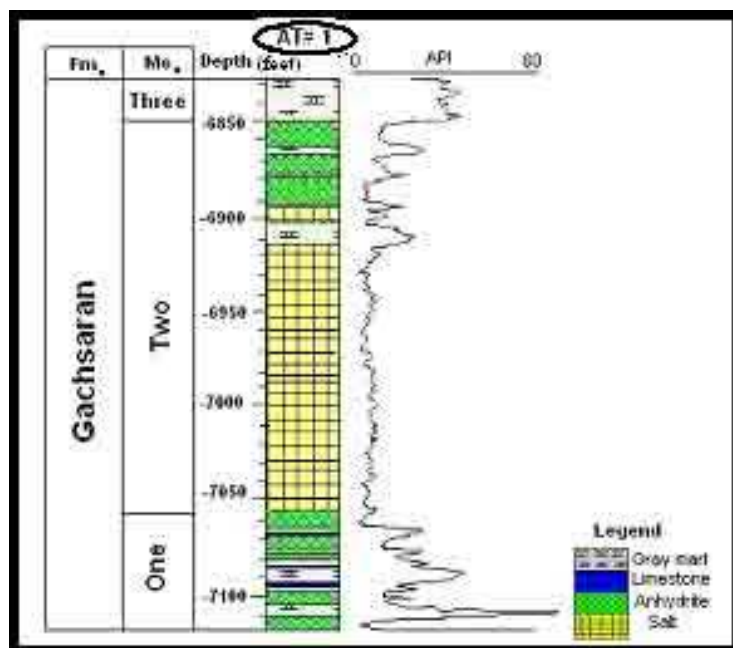
نمکی آب تیمور واقع در ۲۵ کیلومتری جنوب غربی اهواز است (شکل ۱). این میدان از لحاظ موقعیت زمین شناسی، در مرز بین فروافتادگی ذرفول و دشت آبادان قرار دارد [۳] و جزء میادینی است که دارای رخساره حاشیه‌ای سازند گچساران است [۴]. سازند گچساران در این میدان از ۷ بخش با ترکیب سنگ‌شناسی متناوب شامل مارن‌های خاکستری و سرخ، نمک و میان لایه‌های آهکی تشکیل شده است. بخش دو و این سازند حاوی یک دنباله ضخیم نمک (در حدود ۴۰ متر) است (شکل ۲). هدف این کار پژوهشی جداسازی شکلهای بلوری هالیت و شناسایی ساز و کار تشکیل آنها در بخش ۲ سازند گچساران است.

مقدمه

ته نشسته‌های تبخیری در ایران در سه گروه پرکامبرین، رژوراسیک فوقانی، و ترنسیاری (سازندهای قم و گچساران) قرار دارند [۱]. سازند گچساران به دلیل اینکه به عنوان پوشش سنگ مخازن نفتی حوضه زاگرس (کشورهای ایران و عراق) در نظر گرفته می‌شود، از اهمیت زیادی برخوردار است. این سازند در حوضه‌ای با راستای شمال غربی- جنوب شرقی از شمال شرقی سوریه تا جنوب غربی ایران تشکیل شده است [۲]. با این وجود بررسیهای انجام شده به منظور شناخت محیط ته نشستی آن بسیار اندکند، که با توجه به گسترش جغرافیایی زیاد این سازند نیازمند بررسیهای بیشتری است. منطقه مورد مطالعه، میدان



شکل ۱ موقعیت جغرافیایی میدان نفتی آب تیمور.



شکل ۲ موقعیت نمک بخش ۲ سازند گچساران در چاه شماره ۱ میدان نفتی آب تیمور.

سه مرحله سیلاب، تغليظ و خشك شدن است [۱۱ و ۱۲]. اين مراحل بر پايه شناسايي شكلهای بلوري مختلف هاليت در ناحيه مورد مطالعه تفسير شده‌اند، که نشان دهنده ساز و کارهای موثر در تشکيل انواع نمک است. مراحل تشکيل به شرح زيرند.

۱- مرحله سیلابی

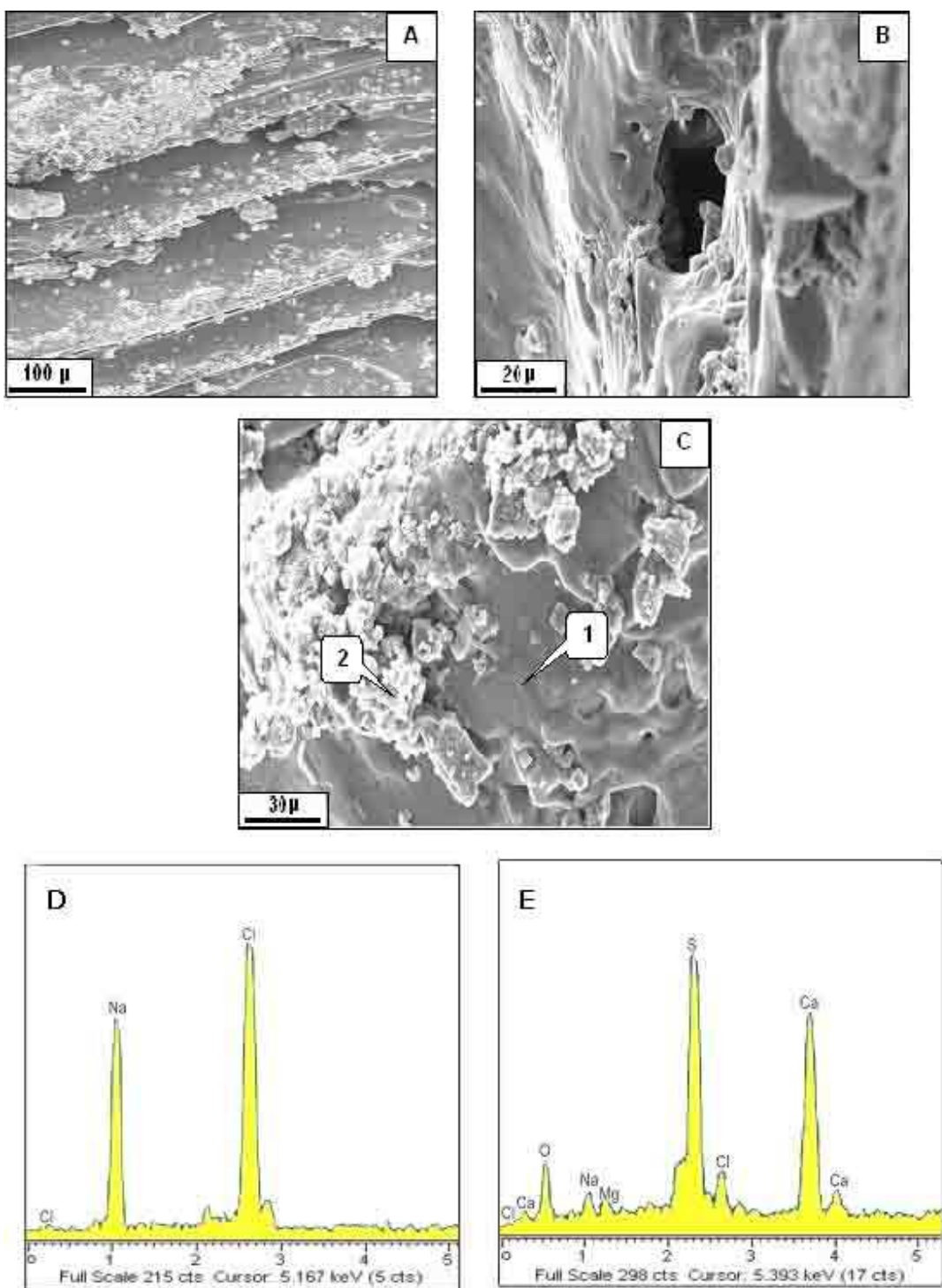
در اين مرحله، سیلاب و هجوم آب در يك كفه نمکي باعث تشکيل يك درياچه شور موقتی می‌شود که معمولاً اين ناحيه از منطقه كفه نمکي گسترده‌تر است. مهمترین فرایندهای مرحله سیلابی گسترش شكلهای انحلالی به صورت حفره‌های انحلالی است که به علت نا اشباع بودن آب نسبت به نمک ايجاد می‌شود. اين شكلها در پوسته‌های هاليتی که در مرحله خشك شدگی تشکيل شده‌اند به وجود می‌آيند. لاههای هاليت مناطق کم عمق از رشته‌ای از پهنه‌ها (لايهای نازک) تشکيل شده‌اند که با سطوح انحلالی صاف جدا می‌شوند. روی اين سطوح انحلالی نيز لایه بسیار نازکی از ژیپس تشکيل می‌شود [۱۳]. اين لایه بندی متشكل از ریز پهنه‌های هاليت و ژیپس بازتاب دهنده تغييرات در میزان ته نشستی ناشی از نوسانهای کوتاه مدت شوري كفه نمکي است [۱۴]. به اعتقاد کندال و هارورو [۱۵] ورود آب دریا یا آب جوى باعث ايجاد اين سطوح انحلالی می‌شود. فرایند انحلال در نمکهای بخش ۲ سازند گچساران در تصاویر میکروسکوپ الکتروني (SEM) به دو صورت حفره‌ای و سطوح صاف بین پوسته‌ای تشخيص داده شدند. نتایج آستالیز نقطه‌ای (EDX) در نقطه ۱ در شکل ۳ فراوانی عناصر کلر و سدیم را نشان می‌دهد بنابر اين می‌تواند نشان دهنده هاليت باشد. در نقطه ۲ که دارای رنگ روش‌تری است، عناصر گوگرد، کلسیم و اکسیژن از فراوانی بيشتری برخوردارند و به عنوان قشر ژیپسی تفسير می‌شوند که در اعماق، به علت افزایش دما و فشار بر اثر فرایند آبزدایی، تبدیل به اندیريت می‌شوند (شکل ۳). همراهی بلورهای اندیريت و هاليت در آنالیز XRD پوسته‌های نمک نيز اين موضوع را تاييد می‌كند (شکل ۴). فرایند انحلال در محیط‌های شورابهای دائمي فقط به صورت سطوح انحلالی صاف دیده می‌شوند [۱۶]. با توجه به همراهی حفره‌ها و سطوح انحلالی، می‌توان محیط آبی کم عمقی را برای اين بخش تفسير کرد که به صورت دوره‌ای در معرض پیشروی دریایي و انحلال قرار می‌گرفته است. از آنجا که سازند گچساران در رده تبخیری‌های تختگاهی است [۱۷]، بنابراین شرایط اخير به خوبی توانسته است در آن گسترش يابد.

روش مطالعه

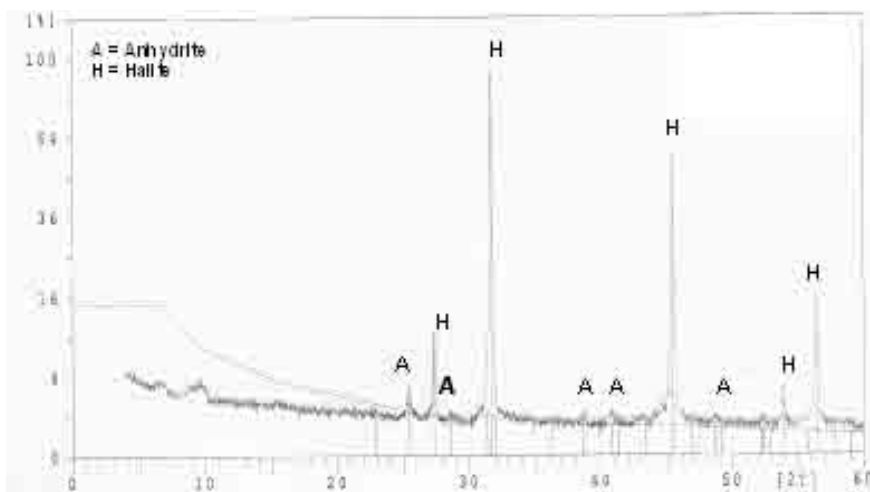
اساس اين بررسی بر پايه داده‌های زير زميني چاه شماره یك ميدان نفتی آب تيمور است. برای دستيابی به هدفهای تعیين شده، نخست با بررسی نمودارهای چاه پیمایي با پرتو گاما و مقایسه آنها با نمودارهای ترسیمي چاه، ضخامت دقیق نمک در اعماق چاه شماره یك ميدان ياد شده مشخص شد. سنجهای تبخیری مانند نمکها دارای كمترین میزان مواد راديواكتيو و بنابراین دارای پرتو گاما اندکی هستند [۵]. پس از اين مرحله، ستون چينه شناسی در محیط نرم افزار Log plot (2005) ترسیم شد. در ادامه تعدادی از خرده‌های نمک حاصل از حفاری به منظور تعیین نوع نمک و شكلهای بلوري آن با Philips Expert XRD مدل و میکروسکوپ الکتروني روشی (SEM) مدل LEO 1450 VP مجهر به آنالیزور عنصری نقطه‌ای (EDX) در آزمایشگاه مرکزی دانشگاه فردوسی مشهد مورد بررسی قرار گرفتند.

بحث

ته نشسته‌های تبخیری برای بازسازی شرایط آب و هوايی، جغرافيايی و اقیانوس شناختی ديرينه از ته نشسته‌های با ارزش هستند، زيرا شناساگرها نسبت به شرایط جغرافيايی، آب و هوايی و شيمی آب حساسند [۶]. کانيهای تبخیری در حقیقت کانيهایي هستند که در نتیجه افزایش غلظت نمکهای محلول - تحت تاثير تبخیر- و در اثر اشباع ته نشین می‌شوند [۷]. تشکيل ته نشسته‌های تبخیری نیازمند افزایش نسبت تبخیر به ورود و تغذيه، حضور يك سد فيزيوگرافی و نيز عدم وجود جريان داخلی در حوضه ته نشستی است. گر چه شرایط ياد شده در محیط‌های اين زمان فراهم نیست، ولی در دوران‌های گذشته به طور گسترده‌ای وجود داشته است [۸]. ته نشسته‌های تبخیری در گستره گسترده‌ای از محیط‌های ته نشستی، مانند حوضه‌های عميق دائمي، درياچه‌های کم عمق دائمي، سبخاها و کفه‌های نمکي تشکيل شده است [۹]. کفه‌های نمکي از شكلهای هميشه‌گي مناطق با شرایط آب و هوايی خشك و نيمه خشك جهانند. اين سистемها در شرایط آب شناختی قدیمي که مستلزم تغيير در سطح آب دریا بوده است، تشکيل شده‌اند [۱۰]. كفه نمکي از لاههای متعدد نمک (هاليت) پوشیده می‌شود. به طور کلي تكرار سیكلهای کفه نمکي باعث شکل گيری هاليت لایه لایه شده، که با میان لاههای گلی، مواد آلی و يا سطوح انحلالی از هم جدا می‌شوند. هر سیكل کفه نمکي شامل



شکل ۳ تصاویر میکروسکوپ الکترونی (SEM) از سطوح انحلالی صاف بین پوسته‌های هالیت (تیره)، بلورهای آنیدریتی (روشن) (A) و انحلال حفره‌ای (B). تصویر C محل آنالیز نقطه‌ای بلورهای هالیت (1) و آنیدریت (2) را نشان می‌دهد که به ترتیب در D و E نشان داده شدند (عمق ۶۹۹۰ فوتی).



شکل ۴ نمودار XRD یک نمونه از نمک بخش ۲ سازند گچساران در میدان نفتی آب تیمور. چنانکه دیده می‌شود، تنها نمک تشکیل شده هالیت است. ایندیریت نیز بین پوسته‌های هالیت و روی سطوح انحلالی تشکیل شده است که با نتایج میکروسکوپ الکترونی مطابقت دارد (عمق ۶۹۹۰ فوت).

رسوبات سولفاتی به علت افزایش غلظت نمک در شورابه است [۲۱]. ضخامت کم ایندیریت در محل تماس با نمک به خوبی در منطقه یاد شده دیده می‌شود (شکل ۲). تشکیل نمک روی ایندیریت می‌تواند نشان دهنده محدودیت بیشتر حوضه و در واقع آغاز تبدیل محیط سبخایی (Sabkha) به نمکزار (Salina) باشد.

۳- مرحله خشک شدنی

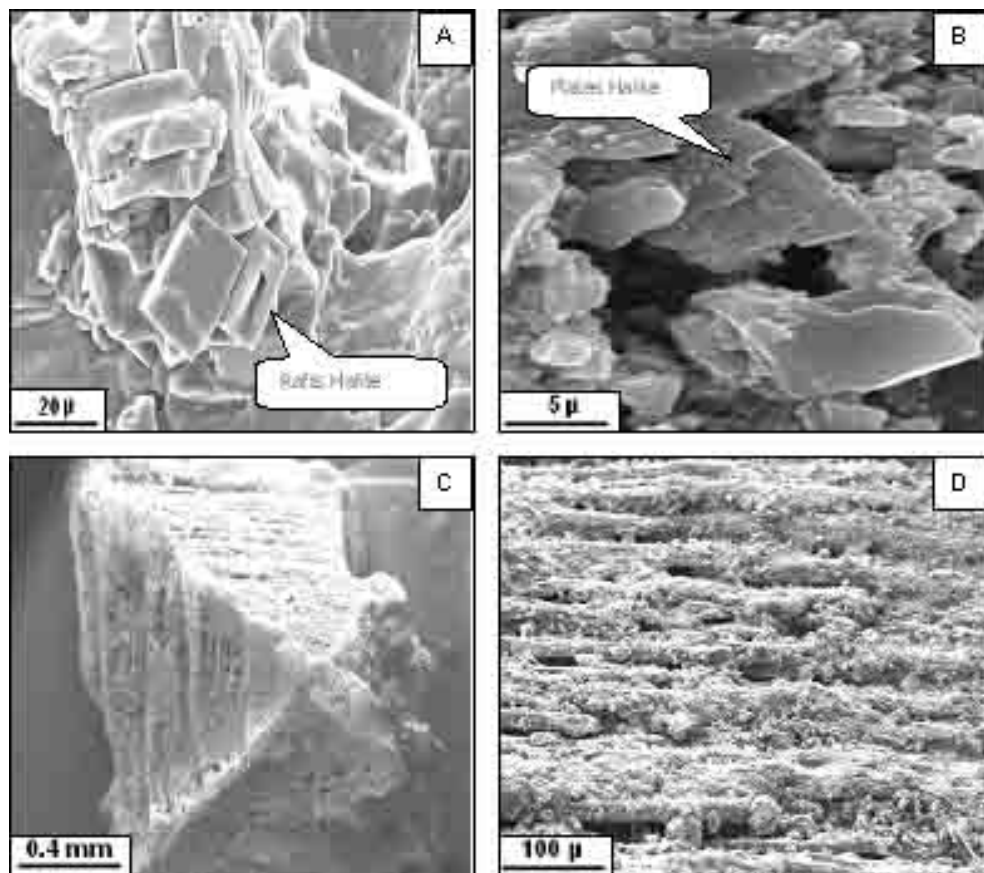
آخرین مرحله سیکل کفه نمکی، خشک شدنی کامل دریاچه موقتی است. طی این مرحله، سطح آب در زیر بستر کفه نمکی قرار می‌گیرد و باعث شکسته شدن بستر کفه نمکی به صورت پوسته‌های چند وجهی هالیت می‌شود [۱۲]. به اعتقاد کازاس و لوستاین [۲۲] تشکیل بلورهای شکل دار پر کننده حفره‌ها و نیز هم رشدی هالیت روشن در این مرحله صورت می‌گیرد. در ناحیه مورد مطالعه نیز بر اثر افت سطح شورابه و خشک شدنی کفه نمکی بلورهای تجمعی بی‌شک و مکعبی شفاف هالیت در حفره‌های انحلالی تشکیل شده‌اند (شکل ۶، A، B و C). این گونه شکلهای بلوری که بر اثر انحلال هالیت درجا تشکیل می‌شوند، نشان دهنده شرایط محیطی بسیار شور طی ته نشینی است. پر شدنی حفره‌ها طی دفن کم عمق صورت می‌گیرد [۲۳]. فراوانی پوسته‌های هالیت در سازند گچساران (شکل ۳)

۲- مرحله تغليظ

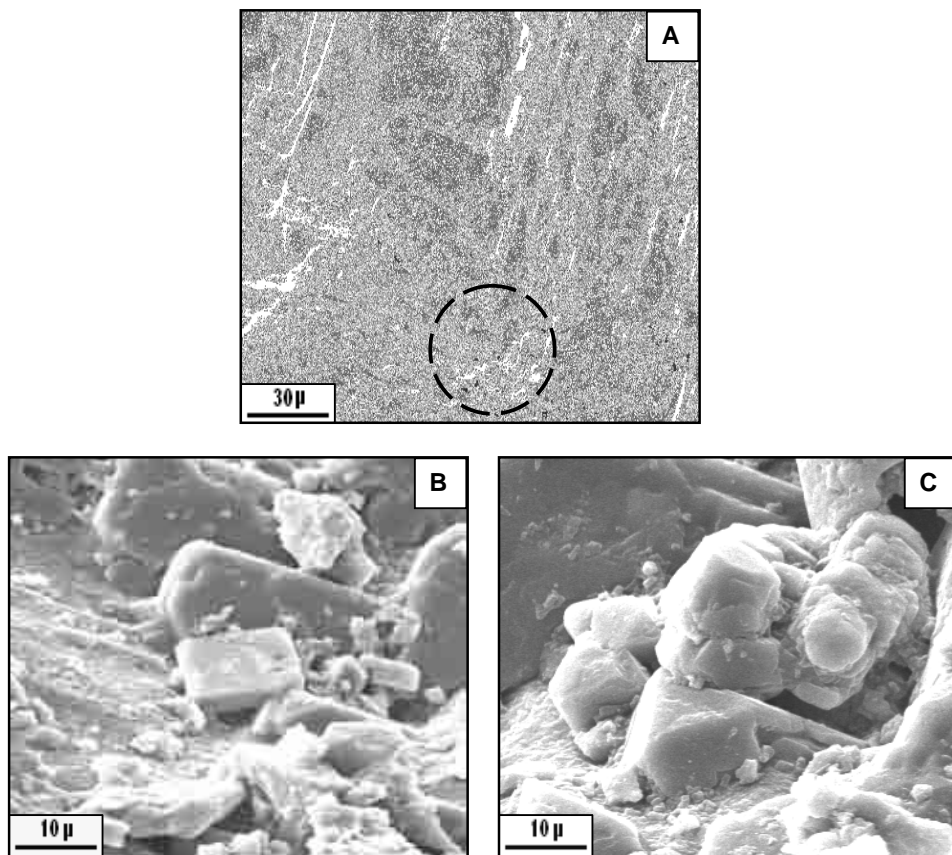
بر اثر ادامه تبخیر و نیز انحلال پوسته‌های بستر، درجه شوری آب دریاچه بالا رفته و شورابه به حالت ابر اشباع در می‌آید. در چنین شرایطی بلورهای هالیت شناور، اولین نهشته‌هایی است که در سطح شورابه - هوا به صورت شناور تشکیل می‌شود. هنگامی که وزن این بلورها از کشش سطحی شورابه بیشتر شود، به صورت تجمعی از بلورهای هالیت شکل دار تا نیمه شکل دار و بدون سمتگیری در کف حوضه ته نشین می‌شوند [۱۸]. در سازند گچساران این بلورها به صورت تجمعی از شکلهای مکعب مستطیلی و مکعبی (Rafts) و برگه‌های مستطیلی (Plates) تشکیل شده‌اند (شکل ۵، A و B). علاوه بر این هالیت به صورت بلورهای چهار وجهی قیفی (Hopper) با سطح پلکانی نیز تشکیل می‌شود (شکل ۵، C و D). این شکل بلوری از انواع عمول تبلور هالیت در مرز شورابه - هواست که بر اثر رشد انتخابی بیشتر گوشته‌ها و لبه‌های بلوری نسبت به سطوح آن به وجود می‌آید [۱۹]. میزان رطوبت جو نیز بر نوع کانی تبخیری تشکیل شده تاثیر دارد. به اعتقاد تاکر [۲۰] این مقدار برای ته نشست هالیت باید کمتر از ۷۶ درصد باشد. یکی از نتایج ته نشست نمک در کفه نمکی، انحلال لایه‌های ژیپس (اندیریت) زیرین است. این فرایند که با کاهش ضخامت این لایه‌ها همراه است ناشی از افزایش قابلیت انحلال

دماغه‌ای زاگرس [۲۷] تشکیل شده است. این گونه حوضه‌ها دارای خاصیت فرونشینی زیادی هستند [۲۸] که به وسیله ته نشست تبخیری با خواص پلاستیکی شدت می‌گیرد [۲۹]. در این حوضه بر اثر فعالیت دوباره گسلهای پی سنگ طی میوسن، شرایط محصور به وجود آمده که باعث گسترش محیط تشکیل تبخیری‌ها شده است. این گسلهای نقش یک سد را برای محیط تبخیری دارد [۳۰]. به نظر می‌رسد که فرونشینی زمین ساختی در حوضه ایجاد شده بر اثر فعالیت گسلی که به وسیله ته نشست تبخیری‌ها شدت می‌گرفته است، باعث تکرار پیشروی و پسروی‌های فرعی دریابی و ته نشست دنباله دار ضخیم نمک بخش ۲ سازند گچساران در یک محیط دریابی کم عمق شده است.

(A) نشان دهنده خشک شدگی دوره‌ای حوضه است. تکرار تشکیل پوسته‌های نمکی یکی از ویژگیهای تبخیری‌های محیط آبی کم عمق است [۲۴]. به اعتقاد ویلسون و لانگ [۲۵] بلورهای هالیت تشکیل شده در حوضه‌های تبخیری ممکن است بر اثر فرایندهای درونزدی مانند تدفین، انحلال و ته نشستی دوباره و نیز جانشینی دستخوش تغییرات کانی‌شناختی شوند و نمک سری پتاس را تشکیل دهند. البته این نوع نمکها بر اثر تکامل شیمی شورابه ناشی از فرایند تبخیر نیز به وجود می‌آیند [۲۶] ولی با توجه به اینکه تنها نمک موجود در منطقه مورد مطالعه هالیت است، بنابراین تغییرات درونزدی چشمگیری رخ نداده است و یا این شدت تبخیر در حد تشکیل کانی‌های سری پتاس نبوده است و سازند گچساران در حوضه



شکل ۵ تصاویر میکروسکوپ الکترونی از شکل‌های بلوری هالیت در مرحله تغليظ. هالیت تجمعی مستطیل و مکعبی (A)، ورقه‌ای (B) (عمق ۷۰۴۰ فوتی)، قیفی (C) و نمایی از سطح پلکانی آن (D) (عمق ۶۹۸۰ فوتی).



شکل ۶ تصاویر میکروسکوپ الکترونی از شکلهای بلوری هالیت شفاف پر کننده حفره‌ها در مرحله خشک شدگی. نمای کلی (A)، نمای نزدیکتر از بلورهای هالیت مکعبی شکل (B) و تجمعی بی شکل (C) (عمر ۶۹۹۰ فوتی).

بلورهای تجمعی بی شکل و مکعبی هالیت شفاف شده است. تشکیل دنبالهٔ ضخیم نمک بخش ۲ سازند گچساران در یک محیط آبی کم عمق را می‌توان ناشی از فعالیت گسلها در ایجاد شرایط محصور و نیز فرونشینی کفه نمکی در بخش حاشیهٔ حوضه فورلندی زاگرس دانست.

مراجع

- [1] Rahimpour Bonab, H., and Kalantazadeh, Z., "Origin of secondary potash deposits; a case from Miocene evaporate of NW central Iran", Journal of Asian Earth Sceience 25 (2005) 157-166
- [2] Tucker, M.E., "Sabkha cycles, stacking and controls, Gachsaran (Lower Fars/Fata) Formation, Miocen, Mesopotamian basin, Iraq", Neues

برداشت

نتایج بررسی نمکهای بخش ۲ سازند گچساران در میدان نفتی آب تیمور با میکروسکوپ الکترونی روبشی (SEM) و آنالیز XRD، نشان دهندهٔ ته نشست آنها در یک کفه نمکی دارای محیط کم عمق است، که مکرر در معرض سیلان، تغییظ و خشک شدگی قرار گرفته است. در آغاز هر سیکل بر اثر پیش روی در بیا شکلهای انجلای به صورت سطوح صاف و حفره‌ای در بستر کفه نمکی گسترش یافته‌اند، سپس با افزایش تبخیر بلورهای هالیت به شکلهای خرواری، ورقه‌ای و قیفی تشکیل شده‌اند. در مرحله آخر این سیکل ته نشستی، بر اثر خشک شدگی کفه نمکی، پوسته‌های هالیت در بستر آن تشکیل شده‌اند. در ادامه شرایط آبی خلی شور در زیر سطح این پوسته‌ها باعث پر شدن حفره‌های انجلای به وسیلهٔ

- [13] Schereiber, B. C., El Tabakh, M., "Depositional and early alteration of evapote", *Sedimentology* 47 (2000) 215-238.
- [14] Warren, J.K., "The hydrological setting, occurrence and significance of gypsum in late Quaternary salt lakes in South Australia", *Sedimentology* 29 (1982) 609-637.
- [15] Kendall, A.C., and Harwood, G.M, "Marine Evaporates: Arid Shorelines and Basins", Oxford, Blackwell Scientific Publication (1995) 688 p.
- [16] Warren, J.K., "Evaporate: their Evolution and Economic", Blackwell, Scientific Oxford (1999) 438p.
- [17] Tucker, M.E., "Evaporites in a sequence stratigraphic context", *Biuletyn Pafstwowego Instytutu Geologicznego* 387 (1999) 67-68.
- [18] Melvin, J.L, "Evaporates, Petroleum and Mineral Resources", Elsevier Science Publishing Company (1991) 556p.
- [19] Handford, R.C, "Halite depositional facies in a solar salt pond: a key to interpreting physical energy and water depth in ancient deposits?", *Geology* 18 (1990) 691-694.
- [20] Tucker, M.E, "Sequence stratigraphy of carbonate-evaporite basins: models and application to the Upper Permian (Zechstein) of northeast England and adjoining North Sea", *Journal of the Geological Society, London* 148 (1991) 1019-1036
- [21] Sonnefeld, P., "Brines and Evaporates", Academic Press, Orlando (1984) 613p.
- [22] Casas, E., and Lowenstein, T.K., "Diagenesis of salinepan halite: comparison of petrographic features of modern, Quaternary, and Permian halites", *Journal of Sedimentary Petrology*, 59 (1989) 724-739.
- [23] Martill, D.M., Loveridge, R., and Heimhofer, U., "Halite pseudomorphs in the Crato Formation (Early Cretaceous, Late Aptian), Araripe Basin, northeast Brazil: further evidence for jahrbuch Geologisch und Plaonatologisch Abhandlung 124 (1999) 45-69
- [۳] آقانباتی، ع.، زمین‌شناسی ایران، سازمان زمین-شناسی و اکتشافات معدنی کشور، چاپ دوم، ۶۰۳ صفحه
- [4] Gill, W.D., and Ala, M.A., "Sedimentology of Gachsaran Formation Lower Fars Series Southwest Iran", AAPG 56 (1974) 1965-1974
- [5] Hearst, J.R., Nelson, P.H., and Paillett, F.L, "Well Logging for physical properties, A hand book for Geophysists, Geologist and Enginerrs", Wiley, second edition (2000) 492 p.
- [6] Benison, K.C., and Goldstein., R.H, "Permian paleoclimate data from fluid inclusions in halite", *Chemical Geology* 154 (1999) 113-132
- [7] Warren, J.K., "Evaporite Sedimentology", Prentice Hall, Englewood Cliffs, New Jersey (1989) 285p.
- [8] Sarg, J.F., "The sequence stratigraphy, sedimentology, and economic importance of evaporate- carbonate transitions a review", *Sedimentary Geology* 140 (2001) 9-34
- [9] Satterfield, C.L, Lowenstein, T.K, Vreeland, R.H., and Rosenzweig., W.D., "Paleobrine temperatures, chemistries, and paleoenvironment of Silurian Salina Formation F-1 Salt, Michigan Basin, USA., From petrography and fluid inclusion in halite", *Journal of Sedimentary Reasearch* 75 (2005) 534-546
- [10] Yechiali, Y., and Wood, W.W, "Hydrogeologic processes in saline systems, playas, sabkhas, and saline lake", *Earth Science Reviews* 58 (2002) 343-365.
- [11] Benison, K.C., and Goldstein., R.H., "Sedimentology of ancient saline pan: an example from the Permian Opeche Shale, Williston Basin, North Dakota, U.S.A.", *Journal of Sedimentary Research* 70 (2000) 159-169.
- [12] Lowenstain, T.K., and Hardie, L.A., "Criteria for the recognition of salt-pan evaporate", *Sedimentology* 32 (1985) 627-644.

- [27] Alavi M., "Regional stratigraphy of the Zagros fold-thrust belt of Iran and proforland evolution", American Journal of Sciences 304 (2004) 1-20.
- [28] Mial, A.D., "The Geology of Stratigraphic Sequence", Springer-Verlag, Berlin (1997) 433 p.
- [29] Rosen, M.R., "The importance of ground water in playas: a review of classifications and sedimentology and hydrology of playas", Geological Society of America, Special Paper, 289 (1994) 1–18.
- [30] Bahroudi, A., and Koey, H.A., "Tectono-sedimentary framework of the Gachsaran Formation in the Zagros foreland basin", Marine and Petroleum Geology 21 (2004) 1295-1310
- hypersalinity", Cretaceous Research 28 (2007) 613-620.
- [24] Warren, J.k., "Evaporates: Sediments, Resources and Hydrocarbons", Springer-Verlag Berlin (2006) 1035p.
- [25] Wilson, T.P., and Long, D.T., "Geochemistry and isotope chemistry of Ca-Na-Cl brines in Silurian Strata, Michigan Basin, USA", Applied Geochemistry 8 (1993) 507–524.
- [26] Moller, P., Rosenthal, E., Fleyer, A., and Geyer, S., "Chemical evolution of saline waters in the Jordan-Dead Sea transform and in adjoining areas", Internationl Journal of Earth Science 96 (2007) 541-566